

УДК 620.178

ПРИБОР ДЛЯ ОЦЕНКИ СВОЙСТВ ПОКРЫТИЙ

© В. В. Семенычев, Р. К. Салахова¹

Статья поступила 15 июля 2015 г.

Разработан и изготовлен простейший прибор — скретч-тестер, позволяющий наносить алмазным индентором царапины на конструкционные материалы и покрытия при различных фиксированных нагрузках. С помощью скретч-тестера на образцы с покрытиями наносили царапины при различных нагрузках на индентор, образовавшиеся царапины исследовали с помощью микроскопа, определяя их ширину и глубину, а также оценивая морфологию дна бороздки. Исследовали образцы из стали 30ХГСА с покрытиями — кластерными гальваническими хромо-вым и никель-кобальтовым, композиционным гальваническим, пиролитическим, карбидохромо-вым, а также защитными цинковым и кадмиевым. Установлено, что все отобранные для работы покрытия имеют высокую прочность сцепления с подложкой, случаи отслаивания наблюдали лишь для покрытий, специально осажденных с нарушением технологии.

Ключевые слова: скретч-тестер; склерометрия; защитные и функциональные покрытия; адгезионная и когезионная прочность; геометрия царапин; микроскопические исследования.

Многолетняя отечественная и зарубежная практика показывает, что более 80 % инновационных разработок в ведущих отраслях промышленности базируется на внедрении новых материалов и технологий их производства [1]. Разработка новых технологических процессов, обеспечивающих получение функциональ-

ных и защитных покрытий с повышенным уровнем свойств, важная материаловедческая задача [2]. Ее решение в значительной мере связано с развитием и применением нанотехнологий, микромеханики, фотоники, квантовых технологий и термоядерной энергетики [3].

В качестве защитных и функциональных покрытий наиболее широкое применение как в России, так и за рубежом получили гальванические металлические

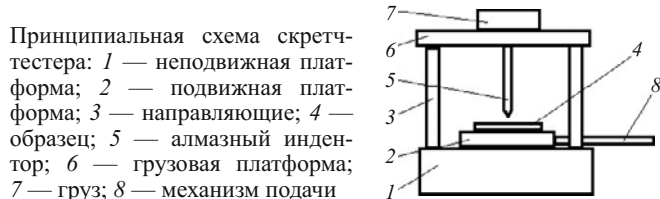
¹ Ульяновский научно-технологический центр Всероссийского института авиационных материалов (УНТЦ ВИАМ), г. Ульяновск, Россия; e-mail: lab2viam@mail.ru

покрытия, а также металлические покрытия, осажденные химическим способом. Особые требования предъявляются к покрытиям, эксплуатирующимся в авиационных конструкциях, что обусловлено недопустимостью коррозии материалов, осыпаемости покрытий, а также установленным ресурсом и календарными сроками эксплуатации авиационной техники, которые постоянно повышаются [4]. В последнее десятилетие в производстве гальванических покрытий получило развитие новое направление, так называемая «кластерная гальваника», где осаждение покрытий происходит в электролитах, содержащих наноразмерные частицы различной природы [5 – 8]. Другим новым направлением является осаждение покрытий при пиролизном разложении металлоорганических соединений [9].

В набор определяемых стандартных характеристик покрытий, осажденных гальваническим или химическим способом, обычно входят толщина покрытия, его микротвердость, пористость, износостойкость, остаточные напряжения [10 – 12], защитная способность, коррозионная стойкость и результаты металлографических исследований [13, 14]. Оценка этих характеристик разрабатываемых покрытий необходима для сравнения их со свойствами стандартных покрытий. Вместе с тем информативность оценки свойств покрытий можно повысить путем применения метода царапания с помощью скретч-тестера. Этот метод позволяет не только измерить ширину и глубину бороздок в покрытии в зависимости от нагрузки, приложенной к индентору, но и исследовать морфологию бороздок, а также получить качественную оценку прочности сцепления покрытия с подложкой.

Нами разработан и изготовлен простейший скретч-тестер, схема которого представлена на рисунке.

Образец 4 закрепляют на подвижной платформе 2, расположенной на неподвижной платформе 1 при поднятом алмазном инденторе 5. После опускания индентора по направляющим 3 до касания с образцом 4 на грузовую платформу 6 устанавливают необходимый груз 7. Далее с помощью механизма подачи 8 и индентора 5 на образец наносят сначала одну царапину, а затем другую — при увеличенной или уменьшенной нагрузке. На подвижной платформе такой установки можно фиксировать образцы размерами от $20 \times 10 \times 2$ до $100 \times 50 \times 10$ мм. Индентор представляет собой алмазный конус, угол при вершине которого составляет 120° , а радиус скругления вершины — 0,2 мм. Такой вид индентора (алмазный конус Роквелла) имеет угол при вершине меньше, чем, например, у пирамиды Виккерса (угол равен 136°), а следовательно, сопротивление его перемещению по покрытию будет меньше сопротивления пирамиды. Грузовая платформа позволяет разместить на ней груз общим весом до 10 кг, скорость перемещения индентора — 1 мм/с.



Материал образцов — конструкционная сталь 30ХГСА с осажденным на нее тем или иным покрытием. Использовали функциональные кластерные гальванические хромовое и никель-кобальтовое покрытия, кластерное композиционное гальваническое покрытие (ККГП), осажденное в электролите на основе солей Cr (III) с добавками сферических микрочастиц корунда диаметром 5 – 10 мкм и пиролизное карбидохромовое покрытие (ПКХП), получаемое при термическом разложении металлоорганических соединений. Исследовали также защитные стандартные цинковые и кадмиевые покрытия.

Кластерное покрытие на основе соединений Cr (VI) осаждали в саморегулирующемся электролите хромирования, содержащем наноразмерные частицы оксида алюминия, кластерное никель-кобальтовое покрытие — в сульфаминовокислом электролите, содержащем соли кобальта и наноразмерные частицы, ККГП — в оксалатно-сульфатном электролите, содержащем наночастицы и микрочастицы оксида алюминия, ПКХП — в вакуумной установке путем испарения и последующего разложения хроморганической жидкости «Бархос». Защитные цинковые и кадмиевые покрытия осаждали согласно ГОСТ 9.305. Характеристики используемых покрытий приведены в табл. 1.

Нагрузку на индентор выбирали исходя из назначения покрытия: для износостойких покрытий — до 90 Н, для защитных — до 30 Н. После нанесения царапины ее исследовали с помощью микроскопа «Олимпус», при этом измеряли ширину бороздки, ее глубину и оценивали морфологию поверхности образца и дна бороздки. Особое внимание уделяли наличию сколов покрытия и другим признакам адгезионного разрушения.

В табл. 2 показаны внешний вид и результаты измерений ширины и глубины бороздок, полученных на кластерном хромовом покрытии в зависимости от приложенных на индентор нагрузок. Поверхность образца покрыта сетью трещин, образовавшихся во время формирования покрытия. Царапина, сделанная ал-

Таблица 1. Характеристики покрытий

Вид покрытия	Микротвердость, МПа	Толщина, мкм
Cr	11 000	40
ККГП	9500	30
Ni-Co	7000	28
ПКХП	14 000	15
Zn	550	12
Cd	470	10

мазным конусом, сохранила морфологию поверхности покрытия, поэтому ее русло также подвергнуто растрескиванию. Приведенные в табл. 1 результаты измерений свидетельствуют о том, что с увеличением нагрузки на индентор возрастают ширина и глубина бороздки. Следует отметить, что края бороздки ровные и не имеют брустверов или каких-либо надрывов. Из проведенных исследований следует заключить, что кластерное хромовое покрытие обладает высокой прочностью сцепления со стальной подложкой, поскольку ни одного случая (даже при развитой сети трещин на поверхности покрытия и русле бороздки) его отслаивания от стали 30ХГСА не отмечено.

В табл. 3 приведены результаты исследований стальных образцов с кластерным никель-кобальтовым покрытием. Как и в предыдущем случае, ширина и глубина деформированной бороздки зависят от нагрузки на индентор: чем больше нагрузка, тем шире и глубже бороздка. Никель-кобальтовое покрытие имеет меньшую микротвердость, чем хромовое; как более вязкое оно не склонно к растрескиванию, что видно из приведенных фотографий поверхности и русла бороздки. Берега бороздок ровные, за исключением бороздки, полученной при нагрузке 80 Н. В этом случае видны отдельные дефекты, представляющие собой брустверы, образовавшиеся в зонах покрытия с повышенной пластичностью. По результатам склерометрии кластерное никель-кобальтовое покрытие имеет

высокую адгезию с подложкой, случаев отслоения покрытия или его растрескивания не отмечено.

Далее исследовали пиролитическое карбидо-хромовое покрытие, которое характеризуется высокими значениями микротвердости, достигающими 20 000 МПа. В данной работе назначены такие технологические режимы осаждения ПКХП, которые обеспечили величину микротвердости покрытия, равную 14 000 МПа. Внешний вид бороздок, полученных при различных нагрузках на индентор, и их измеренные параметры приведены в табл. 4.

Из фотографий видно, что бороздки, сформированные на ПКХП, не имеют четко выраженных границ. Даже при самых низких (из использованных) нагрузках происходит растрескивание покрытия как в русле бороздки, так и прилегающих к ней зонах. Однако случаев отслаивания покрытия, как и в предыдущих случаях, не отмечено, что свидетельствует о высокой прочности сцепления покрытия со сталью. Ширина и глубина бороздок также зависят от нагрузки на индентор.

Для выяснения возможности использования склерометра для оценки адгезии покрытия к стальной подложке были изготовлены образцы с нарушением технологии подготовки стальной поверхности под нанесение покрытия. В результате получены образцы с пиролитическим карбидохромовым покрытием, не отличающиеся по внешнему виду от образцов, полученных без нарушения технологической цепочки

Таблица 2. Результаты исследования кластерного хромового покрытия

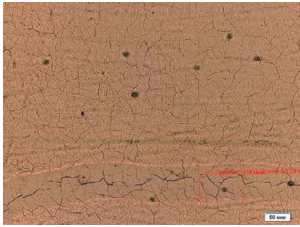
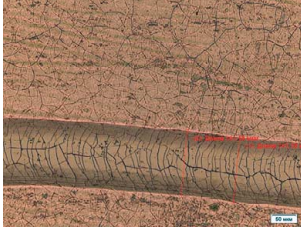
Характеристики бороздки	Нагрузка на индентор, Н		
	20	50	90
Внешний вид			
Ширина, мкм	82	142	185
Глубина, мкм	1,2	4,8	7,2

Таблица 3. Результаты исследования кластерного никель-кобальтового покрытия

Характеристики бороздки	Нагрузка на индентор, Н		
	30	50	80
Внешний вид			
Ширина, мкм	113	163	206
Глубина, мкм	2,4	5,4	8,4

осаждения ПКХП. В табл. 5 приведены результаты исследований таких образцов.

Видно, что и в русле бороздок, и в его окрестностях покрытие отслоилось из-за отсутствия адгезии ПКХП к стали 30ХГСА, причем сколы от берегов русла в глубину покрытия превосходят ширину бороздок. Глубина и ширина сформированных на дефектном покрытии бороздок соответствует этим параметрам на покрытии, осажденном без нарушения технологии подготовки стальной поверхности. Таким образом, разработанный скретч-тестер является весьма чувствительным прибором для оценки возможного адгезионного разрушения покрытия.

Кластерное композиционное покрытие осаждали в электролите, содержащем наночастицы и микрочастицы оксида алюминия. Наночастицы не внедряются в покрытие, а играют роль транспортного средства по доставке осаждаемых ионов покрытия к покрываемой поверхности. Микрочастицы принудительно внедряют в объем покрытия, что придает ему необходимые специальные свойства. ККГП, использованное в данной работе, получено в электролите на основе солей трехвалентного хрома и относится ко второму классу опасности, в отличие от «шестивалентных» электролитов, относящихся к первому классу опасности. Исследование нового функционального покрытия, естественно, представляет интерес.

Внешний вид бороздок, образованных при различных уровнях нагружения, а также их параметры

представлены в табл. 6. Фотографии бороздок на ККГП свидетельствуют о том, что при всех уровнях нагружения русла бороздок имеют ровные берега, на которых просматриваются сферические микрочастицы оксида алюминия. Надрывы, брустверы, растрескивание и другие дефекты покрытий не обнаружены, а отсутствие отслоений ККГП указывает на высокую прочность сцепления покрытия с подложкой. Ширина бороздок и их глубина изменяются пропорционально задаваемой нагрузке. Следует отметить, что с увеличением нагрузки на индентор дно бороздки выглаживается.

В работе исследованы также защитные покрытия — цинковое и кадмиевое. В отличие от функциональных, они обладают меньшей микротвердостью (примерно 550 и 470 МПа соответственно), поэтому и уровни нагрузок на индентор для них выбраны исходя из минимально возможных.

Величина стационарных потенциалов у любых защитных (анодных) покрытий всегда более отрицательная, чем у защищаемого металла, поэтому конструкционный материал защищен электрохимически в отличие от функциональных (катодных) покрытий, которые лишь механически изолируют подложку от контактов с коррозионно-активными средами. Вследствие этого для защитных покрытий не опасны какие-либо мелкие механические повреждения, так как даже оголенная сталь будет заполяризована покрытием в пассивную область [15]. Таблица 7 иллюстрирует резуль-

Таблица 4. Результаты исследования пиролитического карбидохромового покрытия

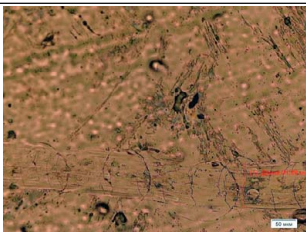
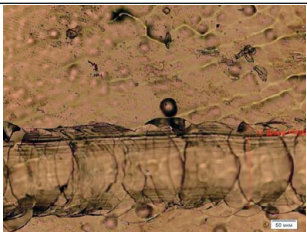
Характеристики бороздки	Нагрузка на индентор, Н		
	30	50	70
Внешний вид			
Ширина, мкм	91	179	206
Глубина, мкм	2,4	6	8,4

Таблица 5. Результаты исследования образцов ПКХП с неправильной подготовкой стальной поверхности

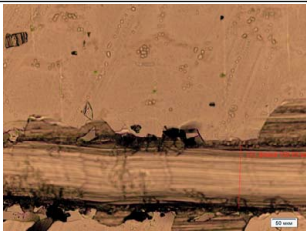
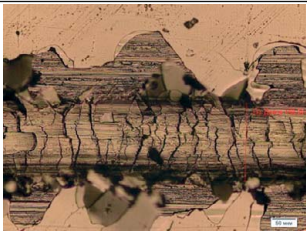
Характеристики бороздки	Нагрузка на индентор, Н		
	20	30	50
Внешний вид			
Ширина, мкм	73	132	166
Глубина, мкм	2,4	4,8	6,0

Таблица 6. Результаты исследования кластерного композиционного хромового [Cr (III)] покрытия

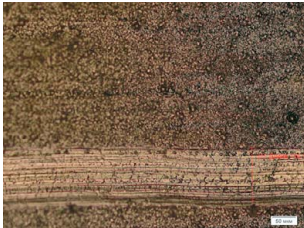
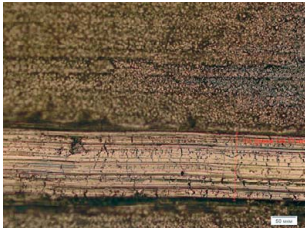
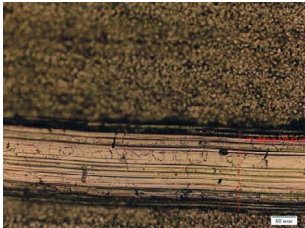
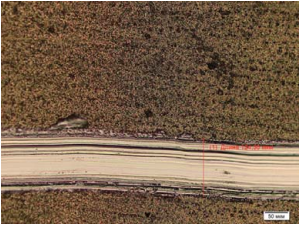
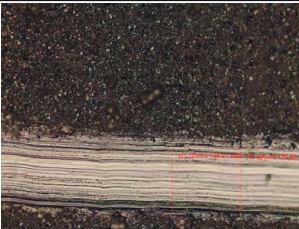
Характеристики бороздки	Нагрузка на индентор, Н		
	30	50	70
Внешний вид			
Ширина, мкм	114	145	170
Глубина, мкм	2,4	6	9,6

Таблица 7. Результаты исследования защитных покрытий

Нагрузка, Н	Ширина, мкм	Глубина, мкм	Характерный вид бороздки
Кадмиевое покрытие			
10	124	3,6	
15	137	4,8	
20	166	7,2	
30	205	9,6	
Цинковое покрытие			
10	126	2,4	
15	150	3,0	
20	170	3,6	
30	202	7,2	

таты проведенных исследований защитных цинковых и кадмиевых покрытий. Внешний вид бороздок на кадмиевых и цинковых покрытиях практически не отличается друг от друга, поэтому здесь приведены лишь снимки, полученные при одном уровне (10 Н) нагрузки. Видно, что русло бороздок имеет вязкое строение, берега с некоторыми наплывами, но четко просматриваемые по всей длине. Обращают на себя внимание значительные величины ширины и глубины бороздок при столь небольших нагрузках на индентор, что объясняется невысокой микротвердостью покрытий. Здесь, как и в предыдущих опытах, прослеживается зависимость ширины и глубины бороздок от усилия царапания. Оба покрытия имеют высокую адгезионную прочность со сталью, сколы и отслоения отсутствуют.

Рассматривая возможности описанного склерометра, следует отметить его чувствительность к различию глубины проникновения индентора в статическом состоянии и при нанесении царапины. Так, глубина проникновения индентора в никель-кобальтовое покрытие при нагрузке 30 Н в статических условиях составила 5,3 – 5,5 мкм, а при перемещении инденто-

ра со скоростью 1 мм/с снизилась до 2,4 – 2,6 мкм. Приведенные данные свидетельствуют о том, что разработанный прибор может быть использован и для оценки твердости при царапании, так как твердость материала определяется отношением нагрузки на индентор к площади поверхности, проекции или объему отпечатка, а глубина проникновения индентора в материал входит в расчетные формулы.

Естественно, разработанный склерометр по своим возможностям не может конкурировать со стационарными отечественными и зарубежными приборами, укомплектованными компьютерной техникой и обладающими целым рядом функций, включая измерение усилия перемещения индентора и возможность анализа триботехнических характеристик материала. Вместе с тем проведенные исследования показали, что изготовленный скретч-тестер позволил расширить количество измеряемых характеристик покрытий и качественно оценить прочность сцепления покрытия с подложкой. Главными достоинствами разработанного склерометра являются простота его изготовления и невысокая стоимость.

ЛИТЕРАТУРА

1. Каблов Е. Н. Коррозия или жизнь / Наука и жизнь. 2012. № 11. С. 16 – 21.
2. Каблов Е. Н. Инновационные разработки ФГУП «ВИАМ» ГНЦ РФ по реализации «Стратегических направлений развития материалов и технологий их переработки на период до 2030 года» / Авиационные материалы и технологии. 2015. № 1(34). С. 3 – 33.
3. Каблов Е. Н. Химия в авиационном материаловедении / Российский химический журнал. 2010. Т. LIV. № 1. С. 3 – 4.
4. Семенычев В. В., Салахова Р. К., Тюриков Е. В., Ильин В. А. Защитные и функциональные гальванические покрытия, получаемые с применением наноразмерных частиц / Авиационные материалы и технологии. 2012. № 5. С. 335 – 342.
5. Салахова Р. К., Семенычев В. В., Тюриков Е. В. Технологические особенности осаждения композиционно-кластерных гальванических покрытий на основе никеля и хрома (III) / Известия Самарского научного центра РАН. 2013. Т. 15. № 6-1. С. 82 – 87.
6. Тюриков Е. В. Свойства хромовых покрытий, полученных в электролите, содержащем нанопорошок оксида алюминия / Коррозия: материалы, защита. 2007. № 11. С. 33 – 38.
7. Нагаева Л. В. Применение нанопорошков в электролитах никелирования, как способ получения никелевых покрытий, по свойствам, не уступающим хромовым покрытиям / Коррозия: материалы, защита. 2007. № 9. С. 32 – 36.

8. **Нагаева Л. В., Нагаев В. В., Семенычев В. В.** Гальванические покрытия на основе цинка, полученные из электролитов, содержащих соли никеля или кобальта и нанопорошки оксидов и карбидов / *Авиационные материалы и технологии*. 2009. № 1. С. 3 – 6.
9. **Панарин А. В.** Пиролитические карбидохромовые покрытия. Технология получения и свойства / *Авиационные материалы и технологии*. 2011. № 4. С. 14 – 17.
10. **Салахова Р. К., Семенычев В. В., Тюриков Е. В., Тихообразов А. Б.** Исследование внутренних (остаточных) напряжений в композиционно-кластерных хромовых и никелевых покрытиях / *Авиационные материалы и технологии*. 2014. № S3. С. 42 – 46.
11. **Салахова Р. К., Семенычев В. В., Тихообразов А. Б.** Исследование гальванических композиционных покрытий металлофизическими методами / *Гальванотехника и обработка поверхности*. 2013. Т. XXI. № 3. С. 45 – 49.
12. **Мубояджян С. А., Александров Д. А., Горлов Д. С.** Нанослойные упрочняющие покрытия для защиты стальных и титановых лопаток компрессора ГТД / *Авиационные материалы и технологии*. 2011. № 3. С. 3 – 7.
13. **Салахова Р. К., Семенычев В. В.** Пути повышения коррозионной стойкости стальных деталей с хромовыми покрытиями / *Коррозия: материалы, защита*. 2009. № 10. С. 43 – 48.
14. **Семенычев В. В., Смирнова Т. Б.** О возможности оценки пористости покрытий потенциостатическими методами / *Авиационные материалы и технологии*. 2009. № 2. С. 7 – 10.
15. **Вульф Б. К., Ромадин К. П.** Авиационное материаловедение. — М.: Машиностроение, 1967. — 391 с.
- and chromium (III)] / *Izv. Samar. Nauch. Tsentra RAN*. 2013. Vol. 15. N 6-1. P. 82 – 87 [in Russian].
6. **Tyurikov E. V.** Svoistva khromovykh pokrytii, poluchennykh v élektrolitakh, sodержashchikh nanoporoshok oksida alyuminiya [Properties of chromium coatings obtained in electrolytes containing alumina nanopowder] / *Korroziya Mater. Zashchita*. 2007. N 11. P. 33 – 38 [in Russian].
7. **Nagaeva L. V.** Primenenie nanoporoshkov v élektrolitakh nikelirovaniya, kak sposob polucheniya nikelevykh pokrytii, po svoistvam, ne ustupayushchim khromovym pokrytiyam [Using of nanopowders in nickel electrolytes, as a way to obtain nickel coatings with properties that are not inferior to chrome plating] / *Korroziya Mater. Zashchita*. 2007. N 9. P. 32 – 36 [in Russian].
8. **Nagaeva L. V., Nagaev V. V., Semenychev V. V.** Gal'vanicheskie pokrytiya na osnove tsinka, poluchennye iz élektrolitov, sodержashchikh soli nikelya ili kobal'ta i nanoporoshki oksidov i karbidov [Electroplated zinc-based coating obtained from electrolytes containing nickel or cobalt salts and oxides and carbides nanopowders] / *Aviats. Mater. Tekhnol.* 2009. N 1. P. 3 – 6 [Investigation of internal (residual) stresses in composite-cluster chrome and nickel coatings] [in Russian].
9. **Panarin A. V.** Pirolyticheskie karbidokhromovye pokrytiya. Tekhnologiya polucheniya i svoistva [Pyrolytic chromium carbide coatings. Production technology and properties] / *Aviats. Mater. Tekhnol.* 2011. N 4. P. 14 – 17 [in Russian].
10. **Salakhova R. K., Semenychev V. V., Tyurikov E. V., Tikhobrazov A. B.** Issledovanie vnutrennikh (ostatochnykh) napryazhenii v kompozitsionno-klasternykh khromovykh i nikelevykh pokrytiyakh [Investigation of internal (residual) stresses in composite-cluster chrome and nickel coatings] / *Aviats. Mater. Tekhnol.* 2014. N S3. P. 42 – 46 [in Russian].
11. **Salakhova R. K., Semenychev V. V., Tikhobrazov A. B.** Issledovanie gal'vanicheskikh kompozitsionnykh pokrytii metallofizicheskimi metodami [Research cluster galvanic composite coatings by metallophysical methods] / *Gal'vanotekh. Obrab. Poverkh.* 2013. Vol. XXI. N 3. P. 45 – 49 [in Russian].
12. **Muboyadzhan S. A., Aleksandrov D. A., Gorlov D. S.** Nanosloinye uprochnyayushchie pokrytiya dlya zashchity stal'nykh i titanovykh lopatok kompressora GTD [Nanolayer strengthening coatings for the protection of steel and titanium GTE compressor blades] / *Aviats. Mater. Tekhnol.* 2011. N 3. P. 3 – 7 [in Russian].
13. **Salakhova R. K., Semenychev V. V.** Puti povysheniya korrozionnoi stoikosti stal'nykh detalei s khromovymi pokrytiyami [Ways to improve the corrosion resistance of chrome plated steel parts] / *Korroziya Mater. Zashchita*. 2009. N 10. P. 43 – 48 [in Russian].
14. **Semenychev V. V., Smirnova T. B.** O vozmozhnosti otsenki poristosti pokrytii potentsiostaticeskimi metodami [On the possible evaluation of the porosity of coatings by potentiostatic methods] / *Aviats. Mater. Tekhnol.* 2009. N 2. P. 7 – 10 [in Russian].
15. **Vulf B. K., Romadin K. P.** Aviatsionnoe materialovedenie [Aeronautical materials science]. — Moscow: Mashinostroenie, 1967. — 391 p. [in Russian].

REFERENCES

1. **Kablov E. N.** Korroziya ili zhizn' [Corrosion or life] / *Nauka Zhizn'*. 2012. N 11. P. 16 – 21 [in Russian].
2. **Kablov E. N.** Innovatsionnye razrabotki FGUP «VIAM» GNTs RF po realizatsii «Strategicheskikh napravlenii razvitiya materialov i tekhnologii ikh pererabotki na period do 2030 goda» [Innovative developments of FSUE «VIAM» SSC of RF on realization of «Strategic directions of the development of materials and technologies of their processing for the period until 2030»] / *Aviats. Mater. Tekhnol.* 2015. N 1(34). P. 3 – 33 [in Russian].
3. **Kablov E. N.** Khimiya v aviatsionnom materialovedenii [Chemistry in aviation materials science] / *Ross. Khim. Zh.* 2010. Vol. LIV. N 1. P. 3 – 4 [in Russian].
4. **Semenychev V. V., Salakhova R. K., Tyurikov E. V., Il'in V. A.** Zashchitnye i funktsional'nye gal'vanicheskie pokrytiya, poluchaemye s primeneniem nanorazmernykh chastits [Protective and Functional Galvanic Coatings, Produced with the use of Nanosize Particles] / *Aviats. Mater. Tekhnol.* 2012. N S. P. 335 – 342.
5. **Salakhova R. K., Semenychev V. V., Tyurikov E. V.** Tekhnologicheskie osobennosti osazhdeniya kompozitsionno-klasternykh gal'vanicheskikh pokrytii na osnove nikelya i khroma (III) [Features of precipitation of composite technology cluster electroplated coatings based on nickel